



UNIVERSITE CADI AYYAD  
MARRAKECH



LABORATOIRE  
DE PHYSIQUE DES HAUTES ENERGIES  
ET ASTROPHYSIQUE

# Some Insight into 2HDM with vector-like quarks at LHC

Mohammed MOUHCINE

Université Cadi Ayyad  
Journée ATLAS/MAROC  
24 Avril 2017

# Plan

- 1 Introduction & Motivations
- 2 2HDM+VLQs
  - 2HDM : Brief description
  - Vector-like quarks : VLQs
- 3 Résultats préliminaires
- 4 Conclusion

# Plan

- 1 Introduction & Motivations
- 2 2HDM+VLQs
  - 2HDM : Brief description
  - Vector-like quarks : VLQs
- 3 Résultats préliminaires
- 4 Conclusion

# Introduction

Le Modèle Standard est une théorie effective d'une théorie plus complète qui demeure inconnue.



- ◇ Un boson de Higgs a été découvert en 2012 à 125 GeV, Mais...Est-ce le seul ?  $\Rightarrow$  New Physics
- ◇ Le secteur de Higgs reste encore inconnu (un seul doublet de Higgs) !!
- Les problèmes : Gravitation, Nombres de famille de fermions, Hiérarchie de masses ...

# Introduction

Le Modèle Standard est une théorie effective d'une théorie plus complète qui demeure inconnue.



- ◇ Un boson de Higgs a été découvert en 2012 à 125 GeV, Mais...Est-ce le seul ?  $\Rightarrow$  New Physics
- ◇ Le secteur de Higgs reste encore inconnu (un seul doublet de Higgs) !!
- Les problèmes : Gravitation, Nombres de famille de fermions, Hiérarchie de masses ...

$\Rightarrow$  le Modèle de Deux Doublets de Higgs : 2HDM (introduction d'un nouveau doublet Higgs )

- Il est une extension minimale du secteur des Higgs.

# Motivations

- Il satisfait aux contraintes expérimentales, il donne une riche phénoménologie avec l'ajout de bosons scalaires supplémentaires.
- La nouvelle physique nécessite des secteurs étendus de Higgs.

# Motivations

- Il satisfait aux contraintes expérimentales, il donne une riche phénoménologie avec l'ajout de bosons scalaires supplémentaires.
- La nouvelle physique nécessite des secteurs étendus de Higgs.

L'enquête sur une physique au-delà du MSM (nouvelle physique)  $\Rightarrow$  des nouvelles particules non prévus par le MS pourraient devenir détectables.

- Les vecteurs quarks (vector-Like quarks VLQ) apparaissent dans de nombreuses extensions du SM
- ils ont récemment fait l'objet d'un large intérêt.
- L'apparition des FCNC.
- Des nouvelles sources de violation de CP.
- Ils ont récemment fait l'objet d'un large intérêt : motivé par les recherches directes du LHC (pair/single production).

# Plan

- 1 Introduction & Motivations
- 2 **2HDM+VLQs**
  - 2HDM : Brief description
  - Vector-like quarks : VLQs
- 3 Résultats préliminaires
- 4 Conclusion

## 2HDM : Brief description

Le Modèle Standard à Deux Doublets de Higgs (THDM) Toute extension du MS doit se faire en préservant les deux contraintes :

① 
$$\rho = \frac{M_W^2}{M_Z^2 \cos^2 \theta_w} \approx 1$$

② Absence de courant neutre changeant la saveur FCNC

## 2HDM : Brief description

Le Modèle Standard à Deux Doublets de Higgs (THDM) Toute extension du MS doit se faire en préservant les deux contraintes :

$$\textcircled{1} \quad \rho = \frac{M_W^2}{M_Z^2 \cos^2 \theta_w} \approx 1$$

$\textcircled{2}$  Absence de courant neutre changeant la saveur FCNC

Dans Le THDM, nous introduisons un nouveau doublet Higgs :

$$\Phi_1 = \begin{pmatrix} \phi_1^+ \\ \phi_1^0 \end{pmatrix} = \begin{pmatrix} \phi_1 + i\phi_2 \\ \phi_3 + i\phi_4 \end{pmatrix} \quad \Phi_2 = \begin{pmatrix} \phi_2^+ \\ \phi_2^0 \end{pmatrix} = \begin{pmatrix} \phi_5 + i\phi_6 \\ \phi_7 + i\phi_8 \end{pmatrix}$$

$$Y_1 = Y_2 = +1, T_1 = T_2 = \frac{1}{2}.$$

# Le Lagrangien du THDM

- Le Lagrangien du THDM invariant par rapport  $SU_L(2) \times U_Y(1)$  :

$$\mathcal{L}_{THDM} = \mathcal{L}_{Higgs} + \mathcal{L}_{g.k} + \mathcal{L}_{Yukawa}$$

# Le Lagrangien du THDM

- Le Lagrangien du THDM invariant par rapport  $SU_L(2) \times U_Y(1)$  :

$$\mathcal{L}_{THDM} = \mathcal{L}_{Higgs} + \mathcal{L}_{g.k} + \mathcal{L}_{Yukawa}$$

- la forme la plus générale du potentiel THDM :

$$V_{THDM} = \mu_{11}^2 \Phi_1^\dagger \Phi_1 + \mu_{22}^2 \Phi_2^\dagger \Phi_2 - (\mu_{12}^2 \Phi_1^\dagger \Phi_2 + h.c) + \frac{\Lambda_1}{2} (\Phi_1^\dagger \Phi_1)^2 + \frac{\Lambda_2}{2} (\Phi_2^\dagger \Phi_2)^2 + \Lambda_3 (\Phi_1^\dagger \Phi_1) (\Phi_2^\dagger \Phi_2) + \Lambda_4 (\Phi_1^\dagger \Phi_2) (\Phi_2^\dagger \Phi_1) + \{ \Lambda_5 (\Phi_1^\dagger \Phi_2)^2 + [\Lambda_6 (\Phi_1^\dagger \Phi_1)^2 + \Lambda_7 (\Phi_2^\dagger \Phi_2)^2] (\Phi_1^\dagger \Phi_2) + h.c \}$$

où  $\mu_{11}, \mu_{22}$ , et  $\Lambda_{1,2,3,4} \in \mathbb{R}$  (l'hermécité du potentiel), et  $\mu_{12}$  et  $\Lambda_{5,6,7}$  peuvent être complexes.

$\Rightarrow \Lambda_{6,7} = 0$  si on impose que le potentiel soit invariant sous la symétrie discrète  $Z_2$  ( $\Phi_1 \rightarrow \Phi_1$  et  $\Phi_2 \rightarrow -\Phi_2$ )

# Le Lagrangien du THDM

- Le Lagrangien du THDM invariant par rapport  $SU_L(2) \times U_Y(1)$  :

$$\mathcal{L}_{THDM} = \mathcal{L}_{Higgs} + \mathcal{L}_{g.k} + \mathcal{L}_{Yukawa}$$

- la forme la plus générale du potentiel THDM :

$$V_{THDM} = \mu_{11}^2 \Phi_1^\dagger \Phi_1 + \mu_{22}^2 \Phi_2^\dagger \Phi_2 - (\mu_{12}^2 \Phi_1^\dagger \Phi_2 + h.c) + \frac{\Lambda_1}{2} (\Phi_1^\dagger \Phi_1)^2 + \frac{\Lambda_2}{2} (\Phi_2^\dagger \Phi_2)^2 + \Lambda_3 (\Phi_1^\dagger \Phi_1) (\Phi_2^\dagger \Phi_2) + \Lambda_4 (\Phi_1^\dagger \Phi_2) (\Phi_2^\dagger \Phi_1) + \{ \Lambda_5 (\Phi_1^\dagger \Phi_2)^2 + [\Lambda_6 (\Phi_1^\dagger \Phi_1)^2 + \Lambda_7 (\Phi_2^\dagger \Phi_2)^2] (\Phi_1^\dagger \Phi_2) + h.c \}$$

où  $\mu_{11}, \mu_{22}$ , et  $\Lambda_{1,2,3,4} \in \mathbb{R}$  (l'hermécité du potentiel), et  $\mu_{12}$  et  $\Lambda_{5,6,7}$  peuvent être complexes.

$\Rightarrow \Lambda_{6,7} = 0$  si on impose que le potentiel soit invariant sous la symétrie discrète  $Z_2$  ( $\Phi_1 \rightarrow \Phi_1$  et  $\Phi_2 \rightarrow -\Phi_2$ )

- Les paramètres libres : 8 paramètres

# le secteur scalaire de THDM

La valeur moyenne dans le vide

$$\langle \Phi_1 \rangle = \frac{1}{\sqrt{2}} \begin{pmatrix} 0 \\ v_1 \end{pmatrix} \quad \langle \Phi_2 \rangle = \frac{1}{\sqrt{2}} \begin{pmatrix} 0 \\ v_2 \end{pmatrix}$$

$$v = \sqrt{v_1^2 + v_2^2} = 246 \text{ GeV}; \tan \beta = \frac{v_2}{v_1}$$

# le secteur scalaire de THDM

La valeur moyenne dans le vide

$$\langle \Phi_1 \rangle = \frac{1}{\sqrt{2}} \begin{pmatrix} 0 \\ v_1 \end{pmatrix} \quad \langle \Phi_2 \rangle = \frac{1}{\sqrt{2}} \begin{pmatrix} 0 \\ v_2 \end{pmatrix}$$

$$v = \sqrt{v_1^2 + v_2^2} = 246 \text{ GeV}; \tan \beta = \frac{v_2}{v_1}$$

On développe le potentiel autour du vide avec la nouvelle paramétrisation :

$$V_{THDM} = \lambda_1 \left( \Phi_1^\dagger \Phi_1 - \frac{v_1^2}{2} \right)^2 + \lambda_2 \left( \Phi_2^\dagger \Phi_2 - \frac{v_2^2}{2} \right)^2 + \lambda_3 \left\{ \Phi_1^\dagger \Phi_1 + \Phi_2^\dagger \Phi_2 - \frac{v_1^2 + v_2^2}{2} \right\}^2 + \lambda_4 \left\{ (\Phi_1^\dagger \Phi_1)(\Phi_2^\dagger \Phi_2) - (\Phi_1^\dagger \Phi_2)(\Phi_2^\dagger \Phi_1) \right\} + \lambda_5 \left( \Re(\Phi_1^\dagger \Phi_2) - \frac{v_1 v_2}{2} \right)^2 + \lambda_6 \left( \Im(\Phi_1^\dagger \Phi_2) \right)^2$$

## Les matrices de masse

- les champs  $\Phi_{1,2}$  autour du vide :

$$\Phi_i = \left( \frac{1}{\sqrt{2}}(v_i + \Re(\phi_i^0) + i\Im(\phi_i^0)) \right) ; i = 1, 2$$

## Les matrices de masse

- les champs  $\Phi_{1,2}$  autour du vide :

$$\Phi_i = \left( \frac{1}{\sqrt{2}}(v_i + \Re(\phi_i^0) + i\Im(\phi_i^0)) \right) \quad ; i = 1, 2$$

- la matrice de masse :

$$M_{ij}^2 = \frac{1}{2} \frac{\partial^2 V}{\partial \phi_i \partial \phi_j} \Big|_{\text{vac}} \quad ; i, j = 1, 2, \dots, 8$$

## Les matrices de masse

- les champs  $\Phi_{1,2}$  autour du vide :

$$\Phi_i = \left( \frac{1}{\sqrt{2}}(v_i + \Re(\phi_i^0) + i\Im(\phi_i^0)) \right) \quad ; i = 1, 2$$

- la matrice de masse :

$$M_{ij}^2 = \frac{1}{2} \frac{\partial^2 V}{\partial \phi_i \partial \phi_j} \Big|_{vac} \quad ; i, j = 1, 2, \dots, 8$$

- 5 Bosons de Higgs physiques : 2 Higgs charges  $H^\pm$ , 2 bosons de Higgs neutres CP{pair}  $H^0, h^0$  ; et un boson de Higgs neutre CP{impair}  $A^0$ .

## Les matrices de masse

- les champs  $\Phi_{1,2}$  autour du vide :

$$\Phi_i = \left( \frac{1}{\sqrt{2}}(v_i + \Re(\phi_i^0)) + i\Im(\phi_i^0) \right) \quad ; i = 1, 2$$

- la matrice de masse :

$$M_{ij}^2 = \frac{1}{2} \frac{\partial^2 V}{\partial \phi_i \partial \phi_j} \Big|_{vac} \quad ; i, j = 1, 2, \dots, 8$$

- 5 Bosons de Higgs physiques : 2 Higgs charges  $H^\pm$ , 2 bosons de Higgs neutres CP{pair}  $H^0, h^0$  ; et un boson de Higgs neutre CP{impair}  $A^0$ .
- Les paramètres physiques :  
 $M_{H^\pm}, M_{H^0}, M_{h^0}, M_{A^0}, \alpha, \tan \beta, m_{12}$ .

# les couplages des bosons de Higgs aux bosons de jauge

$$\mathcal{L}_{CIN} = (D_\mu \Phi_1)^\dagger (D^\mu \Phi_1) + (D_\mu \Phi_2)^\dagger (D^\mu \Phi_2)$$

avec

$$D_\mu = \partial_\mu - igT_i W_\mu^i - ig' \frac{Y_{\Phi_{1,2}}}{2} B_\mu,$$

$$\Phi_1 = \begin{pmatrix} G^\pm \cos \beta - H^\pm \sin \beta \\ \frac{1}{\sqrt{2}}(v_1 + H^0 \cos \alpha - h^0 \sin \alpha + iG^0 \cos \beta - iA^0 \sin \beta) \end{pmatrix}$$

$$\Phi_2 = \begin{pmatrix} G^\pm \sin \beta + H^\pm \cos \beta \\ \frac{1}{\sqrt{2}}(v_2 + H^0 \sin \alpha + h^0 \cos \alpha + iG^0 \sin \beta + iA^0 \cos \beta) \end{pmatrix}$$

$$\Phi_1 = \cos \beta \begin{pmatrix} G^\pm \\ \frac{1}{\sqrt{2}}(v_1 - \phi_1^0 + iG^0) \end{pmatrix} - \sin \beta \begin{pmatrix} H^\pm \\ \frac{1}{\sqrt{2}}(\phi_2^0 + iA^0) \end{pmatrix}$$

$$\Phi_2 = \sin \beta \begin{pmatrix} G^\pm \\ \frac{1}{\sqrt{2}}(v_1 - \phi_1^0 + iG^0) \end{pmatrix} + \cos \beta \begin{pmatrix} H^\pm \\ \frac{1}{\sqrt{2}}(\phi_2^0 + iA^0) \end{pmatrix}$$

## Secteur de Yukawa

### 2HDM-I

- Le lagrangien de Yukawa pour 2HDM-I :  
$$-\mathcal{L}_Y = \xi_{U,0}^{ij} \bar{Q}_{iL}^0 \Phi_2^c U_{jR}^0 + \xi_{D,0}^{ij} \bar{Q}_{iL}^0 \Phi_2 D_{j,R}^0 + \xi_{E,0}^{ij} \bar{L}_{iL}^0 \Phi_2 E_{jR}^0 + hc,$$
- Après la brisure  $\Phi_2 \mapsto v_2 : \Rightarrow M_{u,d,l} = \frac{v_2}{\sqrt{2}} \xi_{u,d,l}^0$

## Secteur de Yukawa

### 2HDM-I

- Le lagrangien de Yukawa pour 2HDM-I :  

$$-\mathcal{L}_Y^I = \xi_{U,0}^{ij} \bar{Q}_{iL}^0 \Phi_2^c U_{jR}^0 + \xi_{D,0}^{ij} \bar{Q}_{iL}^0 \Phi_2 D_{j,R}^0 + \xi_{E,0}^{ij} \bar{L}_{iL}^0 \Phi_2 E_{jR}^0 + hc,$$
- Après la brisure  $\Phi_2 \mapsto v_2 : \Rightarrow M_{u,d,l} = \frac{v_2}{\sqrt{2}} \xi_{u,d,l}^0$

### 2HDM-II

- Le lagrangien de Yukawa pour 2HDM-II :  

$$-\mathcal{L}_Y^{II} = \eta_{D,0}^{ij} \bar{Q}_{iL}^0 \Phi_1 D_{j,R}^0 + \xi_{U,0}^{ij} \bar{Q}_{iL}^0 \Phi_2^c U_{jR}^0 + \xi_{E,0}^{ij} \bar{L}_{iL}^0 \Phi_2 E_{jR}^0 + hc,$$
- Après la brisure :  $\Rightarrow M_u = \frac{v_2}{\sqrt{2}} \xi_{u,0}, M_d = \frac{v_1}{\sqrt{2}} \eta_{d,0}, M_l = \frac{v_2}{\sqrt{2}} \xi_{l,0},$

# Secteur de Yukawa

## 2HDM-I

- Le lagrangien de Yukawa pour 2HDM-I :  

$$-\mathcal{L}_Y^I = \xi_{U,0}^{ij} \bar{Q}_{iL}^0 \Phi_2^c U_{jR}^0 + \xi_{D,0}^{ij} \bar{Q}_{iL}^0 \Phi_2 D_{j,R}^0 + \xi_{E,0}^{ij} \bar{L}_{iL}^0 \Phi_2 E_{jR}^0 + hc,$$
- Après la brisure  $\Phi_2 \mapsto v_2 : \Rightarrow M_{u,d,l} = \frac{v_2}{\sqrt{2}} \xi_{u,d,l}^0$

## 2HDM-II

- Le lagrangien de Yukawa pour 2HDM-II :  

$$-\mathcal{L}_Y^{II} = \eta_{D,0}^{ij} \bar{Q}_{iL}^0 \Phi_1 D_{j,R}^0 + \xi_{U,0}^{ij} \bar{Q}_{iL}^0 \Phi_2^c U_{jR}^0 + \xi_{E,0}^{ij} \bar{L}_{iL}^0 \Phi_2 E_{jR}^0 + hc,$$
- Après la brisure :  $\Rightarrow M_u = \frac{v_2}{\sqrt{2}} \xi_{u,0}, M_d = \frac{v_1}{\sqrt{2}} \eta_{d,0}, M_l = \frac{v_2}{\sqrt{2}} \xi_{l,0},$

|              | Type-I                           |               |                                  | Type-II                           |              |                                  |
|--------------|----------------------------------|---------------|----------------------------------|-----------------------------------|--------------|----------------------------------|
|              | $h$                              | $A$           | $H$                              | $h$                               | $A$          | $H$                              |
| $Q_U$        | $\frac{\cos \alpha}{\sin \beta}$ | $\cot \beta$  | $\frac{\sin \alpha}{\sin \beta}$ | $\frac{\cos \alpha}{\sin \beta}$  | $\cot \beta$ | $\frac{\sin \alpha}{\sin \beta}$ |
| $Q_D$ et $L$ | $\frac{\cos \alpha}{\sin \beta}$ | $-\cot \beta$ | $\frac{\sin \alpha}{\sin \beta}$ | $-\frac{\sin \alpha}{\cos \beta}$ | $\tan \beta$ | $\frac{\cos \alpha}{\cos \beta}$ |

# VLQs

- les vecteurs quarks (VLQs) sont les partenaires fermioniques des quarks :
  - Peuvent être singlets, doublets ou triplets.
  - Les chiralité gauches et droites des quarks vecteurs se transforment de la même manière selon le groupe de jauge du SM  $SU_c(3) \times SU_L(2) \times U_Y(1)$

# VLQs

- les vecteurs quarks (VLQs) sont les partenaires fermioniques des quarks :
  - Peuvent être singlets, doublets ou triplets.
  - Les chiralité gauches et droites des quarks vecteurs se transforment de la même manière selon le groupe de jauge du SM  $SU_c(3) \times SU_L(2) \times U_Y(1)$

- Les courants chargés

$$\mathcal{L}_W = \frac{g}{\sqrt{2}}(J^{\mu+} W_{+\mu} + J^{\mu-} W_{\mu}^-)$$

- Les quarks chiraux du MS :

$$J^{\mu+} = J_L^{\mu+} + J_R^{\mu+}; \quad \begin{cases} J_L^{\mu+} = \bar{u}_L \gamma^\mu d_L = \bar{u} \gamma^\mu (1 - \gamma^5) d = V - A \\ J_R^{\mu+} = 0 \end{cases}$$

# VLQs

- les vecteurs quarks (VLQs) sont les partenaires fermioniques des quarks :
  - Peuvent être singlets, doublets ou triplets.
  - Les chiralité gauches et droites des quarks vecteurs se transforment de la même manière selon le groupe de jauge du SM  $SU_c(3) \times SU_L(2) \times U_Y(1)$

- Les courants chargés

$$\mathcal{L}_W = \frac{g}{\sqrt{2}} (J^{\mu+} W_{+\mu} + J^{\mu-} W_{\mu}^-)$$

- Les quarks chiraux du MS :

$$J^{\mu+} = J_L^{\mu+} + J_R^{\mu+}; \quad \begin{cases} J_L^{\mu+} = \bar{u}_L \gamma^\mu d_L = \bar{u} \gamma^\mu (1 - \gamma^5) d = V - A \\ J_R^{\mu+} = 0 \end{cases}$$

- Les quarks vectoriels (non-chiral) :

$$J^{\mu+} = J_L^{\mu+} + J_R^{\mu+} = \bar{u}_L \gamma^\mu d_L + \bar{u}_R \gamma^\mu d_R = \bar{u} \gamma^\mu d = V$$

Considérons les quarks lourds  $T, B, X, Y$ , dont les composantes gauches et droites ont les mêmes nombres quantiques, tel que :

| Multiplets | VLQs  | $(SU_L(2) \times U_Y(1))$ | $(T_3, Q_{em})$                            |
|------------|---|---------------------------|--|
| Singlets   | $T_{L,R}^0$   | $(1, +2/3)$               | $(0, 2/3)$                                 |
|            | $B_{L,R}^0$   | $(1, -1/3)$               | $(0, 2/3)$                                 |
| Doublets   | $\begin{pmatrix} X \\ T^0 \end{pmatrix}_{L,R}$        | $(2, 7/6)$                | $(1/2, +5/3)$<br>$(-1/2, +2/3)$            |
|            | $\begin{pmatrix} T^0 \\ B^0 \end{pmatrix}_{L,R}$      | $(2, 1/6)$                | $(1/2, +2/3)$<br>$(-1/2, -1/3)$            |
|            | $\begin{pmatrix} B^0 \\ Y \end{pmatrix}_{L,R}$        | $(2, -5/6)$               | $(1/2, -1/3)$<br>$(-1/2, -4/3)$            |
| Triplets   | $\begin{pmatrix} X \\ T^0 \\ B^0 \end{pmatrix}_{L,R}$ | $(3, 2/3)$                | $(-1, +5/3)$<br>$(0, +2/3)$<br>$(1, -1/3)$ |
|            | $\begin{pmatrix} T^0 \\ B^0 \\ Y \end{pmatrix}_{L,R}$ | $(3, -1/3)$               | $(-1, +2/3)$<br>$(0, -1/3)$<br>$(1, -4/3)$ |

## 2HDM-II + T

Le lagrangien de Yukawa de type II :

$$-\mathcal{L}_Y^{\text{II}} \supset y_d \bar{Q}_{iL} \Phi_1 D_{j,R} + y_u \bar{Q}_{iL} \Phi_2^c U_{jR} + hc,$$

$$\Phi_i^c = \begin{pmatrix} \Phi_i^{0*} \\ -\Phi_i^{-*} \end{pmatrix} \bar{Q}_{iL}^0 = \begin{pmatrix} \bar{U}_{iL}^0 & \bar{D}_{iL}^0 \end{pmatrix} \quad Q_{iL}^0 = \begin{pmatrix} U_{iL}^0 \\ D_{iL}^0 \end{pmatrix}$$

- Addition du quark vectoriel  $up$   $T$  au  $\mathcal{L}_Y^{\text{II}}$  :  
 $-\mathcal{L}_T^{\text{II}} \supset y_u \bar{t}_L \Phi_2^c t_R + y_1 \bar{t}_L \Phi_1^c T_R + M_T \bar{T}_L T_R$
- Après EWSB :

$$-\mathcal{L}^{\text{mass}} = \frac{1}{\sqrt{2}} (y_u v_2 \bar{t}_L t_R + y_1 v_1 \bar{t}_L T_R + h.c.) + M_T \bar{T}_L T_R$$

## 2HDM-II + T

Le lagrangien de Yukawa de type II :

$$-\mathcal{L}_Y^{\text{II}} \supset y_d \bar{Q}_{iL} \Phi_1 D_{j,R} + y_u \bar{Q}_{iL} \Phi_2^c U_{jR} + hc,$$

$$\Phi_i^c = \begin{pmatrix} \Phi_i^{0*} \\ -\Phi_i^{-*} \end{pmatrix} \bar{Q}_{iL}^0 = \begin{pmatrix} \bar{U}_{iL}^0 & \bar{D}_{iL}^0 \end{pmatrix} \quad Q_{iL}^0 = \begin{pmatrix} U_{iL}^0 \\ D_{iL}^0 \end{pmatrix}$$

- Addition du quark vectoriel *up*  $T$  au  $\mathcal{L}_Y^{\text{II}}$  :  
 $-\mathcal{L}_T^{\text{II}} \supset y_u \bar{t}_L \Phi_2^c t_R + y_1 \bar{t}_L \Phi_1^c T_R + M_T \bar{T}_L T_R$
- Après EWSB :

$$-\mathcal{L}^{\text{mass}} = \frac{1}{\sqrt{2}} (y_u v_2 \bar{t}_L t_R + y_1 v_1 \bar{t}_L T_R + \text{h.c.}) + M_T \bar{T}_L T_R$$

$$-\mathcal{L}^{\text{mass}} = (\bar{t}_L \quad \bar{T}_L) \underbrace{\begin{pmatrix} y_u \frac{v_2}{\sqrt{2}} & y_1 \frac{v_1}{\sqrt{2}} \\ 0 & M_T \end{pmatrix}}_{\hat{M}_u} \begin{pmatrix} t_R \\ T_R \end{pmatrix} + hc$$

La diagonalisation de la matrice  $\widehat{M}_u$  :

$$U_L^u \widehat{M}_u (U_R^u)^\dagger = \mathcal{M}_{diag}^u = \begin{pmatrix} m_t & \\ & m_T \end{pmatrix}$$

avec  $U_{L,R}^u$  sont des matrices unitaires  $2 \times 2$  :

La diagonalisation de la matrice  $\widehat{M}_u$  :

$$U_L^u \widehat{M}_u (U_R^u)^\dagger = \mathcal{M}_{diag}^u = \begin{pmatrix} m_t & \\ & m_T \end{pmatrix}$$

avec  $U_{L,R}^u$  sont des matrices unitaires  $2 \times 2$  :

$$\begin{pmatrix} t_{L,R} \\ T_{L,R} \end{pmatrix} = U_{L,R}^u \begin{pmatrix} t_{L,R}^0 \\ T_{L,R}^0 \end{pmatrix} = \begin{pmatrix} \cos \theta_{L,R}^u & -\sin \theta_{L,R}^u \\ \sin \theta_{L,R}^u & \cos \theta_{L,R}^u \end{pmatrix} \begin{pmatrix} t_{L,R}^0 \\ T_{L,R}^0 \end{pmatrix}$$

$$U_{L,R} \widehat{M} \widehat{M}^\dagger (U_{L,R})^\dagger = \mathcal{M}_{diag}^2$$

$\Rightarrow$

$$\tan(2\theta_L) = \frac{-2\sqrt{2}y_1 v_1 M_T}{y_u^2 v_2^2 - 2M_T^2 + y_1^2 v_1^2}, \quad \tan(2\theta_R) = \frac{2\sqrt{2}y_1 y_u v_1 v_2}{y_u^2 v_2^2 - 2M_T^2 - y_1 v_2^2}$$

$$\tan(\theta_R) = \frac{m_t}{m_T} \tan(\theta_L)$$

$$m_{t/T} = \frac{1}{2} \left( \sqrt{\left(\frac{y_u}{\sqrt{2}} v_2 + M_T\right) + \frac{y_1^2}{2} v_1^2} \pm \sqrt{\left(\frac{y_u}{\sqrt{2}} v_2 - M_T\right) + \frac{y_1^2}{2} v_1^2} \right)$$

La rotation entre états propres d'interaction et les états propres de masse :

$$t_{L,R} = \cos \theta_{L,R}^u t_{L,R}^0 - \sin \theta_{L,R}^u T_{L,R}^0$$

$$T_{L,R} = \sin \theta_{L,R}^u t_{L,R}^0 + \cos \theta_{L,R}^u T_{L,R}^0$$

⇒ Modification des couplages des Higgs aux fermions :

$$g_{htt} = \left( c_{LCR} \frac{\cos \alpha}{\sin \beta} - \frac{y_1}{y_u} c_{LSR} \frac{\sin \alpha}{\sin \beta} \right) g_{htt}^{SM}$$

$$g_{hTT} = \left( s_{LSR} \frac{\cos \alpha}{\sin \beta} + \frac{y_1}{y_u} s_{LSR} \frac{\sin \alpha}{\sin \beta} \right) g_{hTT}^{SM}$$

$$g_{hTt} = \left( -s_{LSR} \frac{\cos \alpha}{\sin \beta} + \frac{y_1}{y_u} c_{LSR} \frac{\sin \alpha}{\sin \beta} \right) g_{hTt}^{SM}$$

## 2HDM-I + T

Le lagrangien de Yukawa de type I :

$$-\mathcal{L}_Y^I \supset y_d \bar{Q}_{iL} \Phi_2 D_{j,R} + y_u \bar{Q}_{iL} \Phi_2^c U_{jR} + hc,$$

- Addition du quark vectoriel *up*  $T$  au  $\mathcal{L}_Y^I$  :

$$-\mathcal{L}_T^I \supset y_u \bar{t}_L \Phi_2^c t_R + y_1 \bar{t}_L \Phi_2^c T_R + M_T \bar{T}_L T_R$$

- Après EWSB :

$$-\mathcal{L}^{mass} = \frac{1}{\sqrt{2}} (y_u v_2 \bar{t}_L t_R + y_1 v_2 \bar{t}_L T_R + h.c.) + M_T \bar{T}_L T_R$$

## 2HDM-I + T

Le lagrangien de Yukawa de type I :

$$-\mathcal{L}'_Y \supset y_d \bar{Q}_{iL} \Phi_2 D_{j,R} + y_u \bar{Q}_{iL} \Phi_2^c U_{jR} + hc,$$

- Addition du quark vectoriel  $up$   $T$  au  $\mathcal{L}'_Y$  :

$$-\mathcal{L}'_T \supset y_u \bar{t}_L \Phi_2^c t_R + y_1 \bar{t}_L \Phi_2^c T_R + M_T \bar{T}_L T_R$$

- Après EWSB :

$$-\mathcal{L}^{mass} = \frac{1}{\sqrt{2}} (y_u v_2 \bar{t}_L t_R + y_1 v_2 \bar{t}_L T_R + h.c.) + M_T \bar{T}_L T_R$$

$$\hat{M}_u = \begin{pmatrix} y_u \frac{v_2}{\sqrt{2}} & y_1 \frac{v_2}{\sqrt{2}} \\ 0 & M_T \end{pmatrix}$$

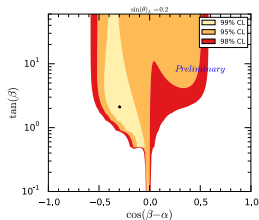
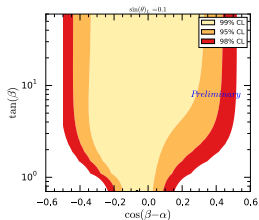
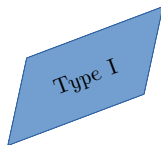
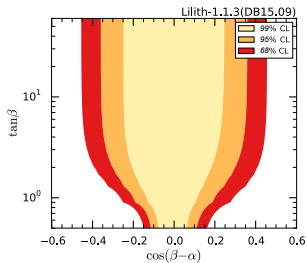
Avec les couplages :

$$g_{htt} = (c_{LCR} + \frac{y_1}{y_u} c_{LSR}) \frac{\cos \alpha}{\sin \beta} g_{htt}^{SM}$$

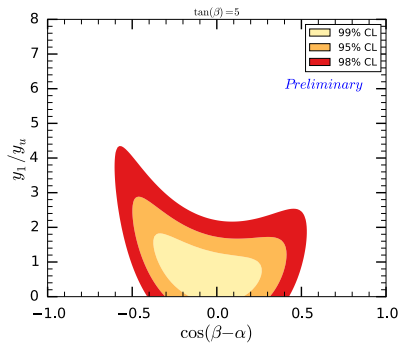
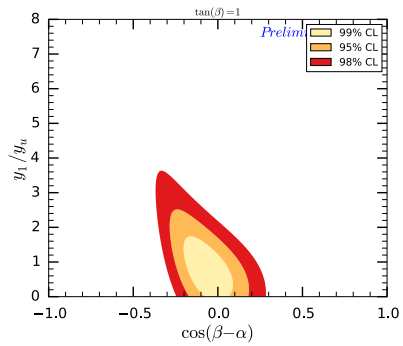
# Plan

- 1 Introduction & Motivations
- 2 2HDM+VLQs
  - 2HDM : Brief description
  - Vector-like quarks : VLQs
- 3 Résultats préliminaires
- 4 Conclusion

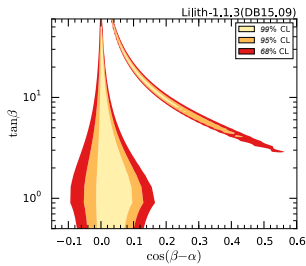
# Résultats :2HDM-I+Top



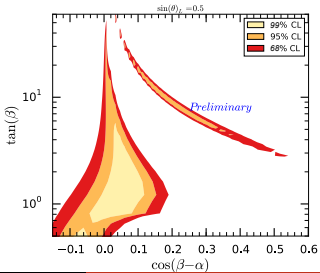
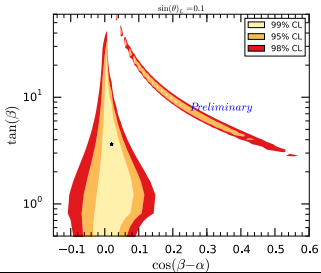
# Résultats :2HDM-I+Top



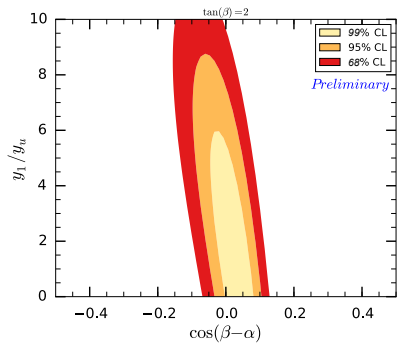
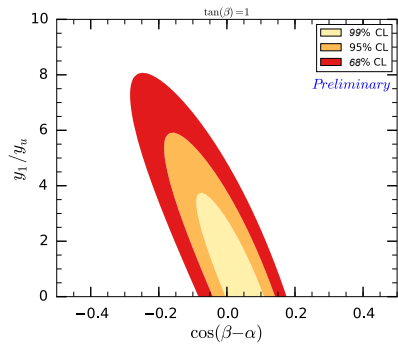
# Résultats :2HDM-II+Top



Type II



# Résultats :2HDM-II+Top



# Plan

- 1 Introduction & Motivations
- 2 2HDM+VLQs
  - 2HDM : Brief description
  - Vector-like quarks : VLQs
- 3 Résultats préliminaires
- 4 Conclusion

## Conclusion & Perspectives

- ✓ Le 2HDM+VLQs permet :
- ✓ Étendre le secteur scalaire ( $H^\pm$ ,  $H^0$ ,  $h^0$  et  $A^0$ )
- ✓ Ajouter de nouvelles particules autorisées par les données expérimentales.
- ✓ L'espace des paramètres de 2HDM+T est relativement contraint vs 2HDM

## Conclusion & Perspectives

- ✓ Le 2HDM+VLQs permet :
- ✓ Étendre le secteur scalaire ( $H^\pm$ ,  $H^0$ ,  $h^0$  et  $A^0$ )
- ✓ Ajouter de nouvelles particules autorisées par les données expérimentales.
- ✓ L'espace des paramètres de 2HDM+T est relativement contraint vs 2HDM

### Perspectives :

- \* Refaire les Scans avec les données Run-II (ATLAS, CMS).
- \* Etudier les différents modes de désintégration dans 2HDMs + VLQ, comme :  $A, H^- \rightarrow \gamma Z$ ,  $A, H^- \rightarrow Tt$ , ...
- \* Rajout du Bottom partner B in 2HDMs.



*MERCI de VOTRE  
ATTENTION*